第4章 梁の撓み振動(連続体の振動(その2))

この章では、連続体の振動として、梁(細長い弾性棒)の撓み振動について解析する. 前章の弦の振動の場合より、微分方程式の取り扱いが多少複雑になるが、この梁(特に、両端自由の境界条件を課した場合.)の振動モードを解析することにより、

船舶に代表される細長 い浮体の振動特性の概 略を知ることができる から、船舶工学科の学 生にとっては、 是非修 得して戴きたい問題で ある.

§ 4.1 梁の

撓み振動方程式

ここでは、梁の振 あ方程式を導く4.1 ように、深れが続いますに、 が続を考したが続いる。 間にして、水直として、鉛直上の な軸、鉛直を ないまする。

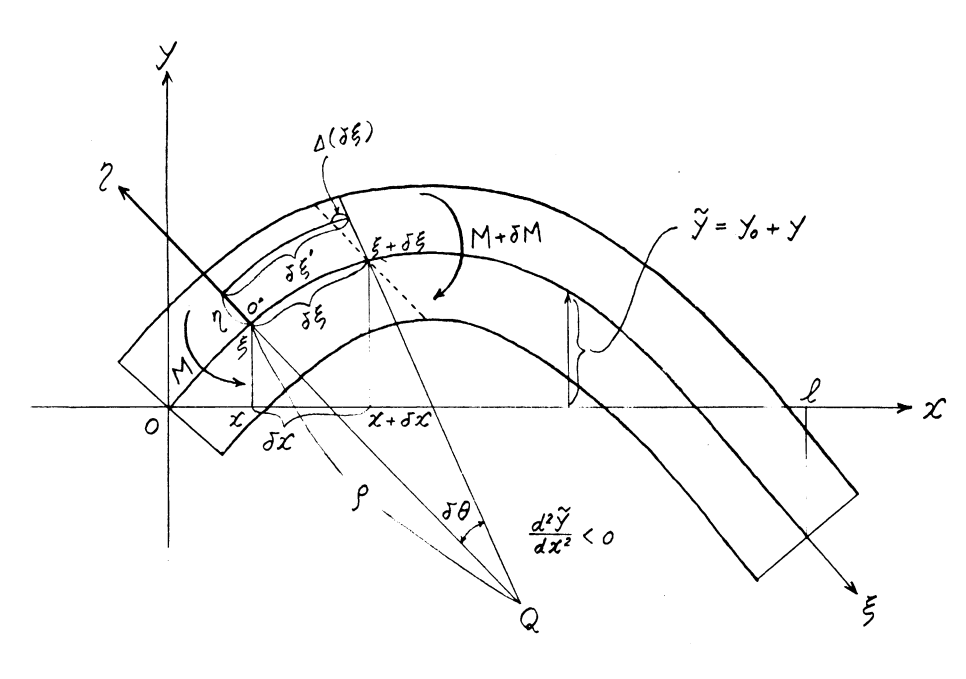


Fig. 4.1

に固定した座標系として、梁の中性軸(断面の図心を連ねた線)に沿って ξ 軸、これに垂直上向きに η 軸、断面内に ξ 軸を取る(Fig.4.2). 従って、梁に何の撓みも生じないときは、 ξ 軸は x 軸に、 η 軸は y 軸に、一致することになる. また、梁の撓みによる、 ξ 軸の変位量を $\tilde{y}(x,t)$ とするが、この変形によっても、中性軸である ξ 軸(正確には、 $\eta=0$ なる $\xi\zeta$ 面)は伸び縮みをせず、また断面の $\eta\zeta$ 面は、変形後も平面を維持し、且

つ、 ξ 軸と直交するものと仮定する. (これを、"Bernoulli の仮定"と呼ぶことは、材料力学で習ったことであろう.) なお、解析に当たって、撓みは曲げモ-メントのみによって生ずるものとする. 厳密には、剪断力によっても、撓み曲線に傾斜が生じるが、梁が細長い(梁のスパンに比して、断面の深さが、十分に小さい場合.)限り、この影響は無視できるからである. ここに、梁の単位長さ当たりの重量を γ 、材料の Young 率を E とする.

$$\Delta(\delta\xi) = \delta\xi' - \delta\xi = \eta \,\delta\theta$$

$$\begin{cases} \delta\xi = \rho \,\delta\theta \\ \delta\xi' = (\rho + \eta) \,\delta\theta \end{cases}$$
(4.1)

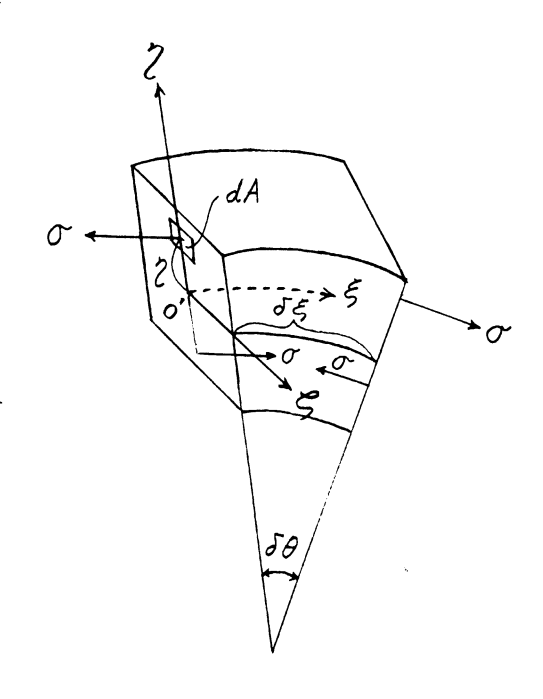


Fig. 4.2

となる. そのときの, 歪み ε は,

$$\varepsilon = \frac{\Delta(\delta\xi)}{\delta\xi} = \frac{\eta}{\rho} \qquad (4.2)$$

となるから、応力 σ は、材料のYoung 率E を介して、

$$\sigma = E \varepsilon = \frac{E}{Q} \eta$$
(4.3)

となる. ここに、Fig. 4.2 に示すように、この曲げ応力の ζ 軸まわりの ξ -メットを、 $\eta \zeta$ 断面に ξ 断面に ξ が、

$$M = \iint_{A} \eta \cdot \sigma dA = = \frac{E}{\rho} \iint_{A} \eta^{2} d\eta d\zeta = \frac{EI}{\rho}$$

$$(4.4)$$

のように求まる. ここに、式中の曲率半径 ρ を、中性軸の撓み変位 \tilde{y} で表わすことを考えよう.

ここでは、解析の便利のため、撓みが下に凸な場合を考え、Fig. 4.3 に示すように、 ξ 軸上の点P における接線の傾斜角を θ , $\delta\xi$ だけ離れた点P' での傾斜角を θ + $\delta\theta$ とすると、その両者の接線と直交する法線の交点Q が曲率の中心となり、その半径 \overline{PQ} が曲率半径 ρ である。 幾何学的な関係から、挟み角は $\delta\theta$ となるから、曲率半径 ρ は、

$$\rho = \frac{\delta \xi}{\delta \theta} = \frac{\frac{\partial \xi}{\partial x}}{\frac{\partial \theta}{\partial x}}$$

$$= \frac{\sqrt{1 + \left(\frac{\partial \tilde{y}}{\partial x}\right)^{2}}^{3}}{\frac{\partial^{2} \tilde{y}}{\partial x^{2}}} \approx \frac{1}{\frac{\partial^{2} \tilde{y}}{\partial x^{2}}} \cdots (4.5)$$

となる. したがって、撓みの傾斜が小さい場合は、上式が示すように、その曲率 $\frac{1}{\rho}$ は、撓みの 2 階微分係数 $\frac{\partial^2 \tilde{y}}{\partial r^2}$ で表わされることが分

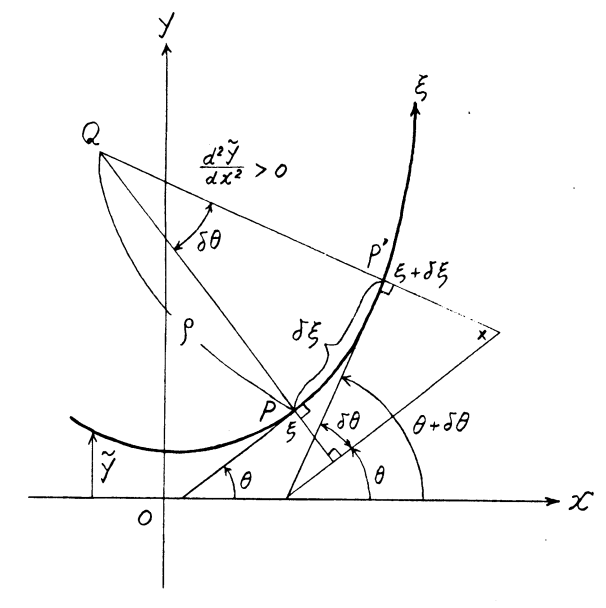


Fig. 4.3

かる. なお、式中の $\frac{\partial \xi}{\partial x}$ は、 $\delta \xi = \sqrt{\left(\delta x\right)^2 + \left(\delta \tilde{y}\right)^2}$ より、また $\frac{\partial \theta}{\partial x}$ は、 $\tan \theta = \frac{\partial \tilde{y}}{\partial x}$ の両辺を x で偏微分することにより、それぞれ、

$$\frac{\partial \xi}{\partial x} = \sqrt{1 + \left(\frac{\partial \tilde{y}}{\partial x}\right)^{2}}$$

$$\frac{\partial \theta}{\partial x} = \frac{\frac{\partial^{2} \tilde{y}}{\partial x^{2}}}{1 + \tan^{2} \theta} = \frac{\frac{\partial^{2} \tilde{y}}{\partial x^{2}}}{1 + \left(\frac{\partial \tilde{y}}{\partial x}\right)^{2}}$$
(4.6)

のように、求めたものである. このことから、(4.4)式の曲げ ϵ -N M は、小撓み $\left|\tilde{y}\right|$ $\ll 1$ を仮定する限り、

$$M = \frac{EI}{\rho} = -EI \frac{\partial^2 \tilde{y}}{\partial x^2} \qquad \cdots (4.7)$$

のように、書くことができる. (ここまでは、材料力学の復習である.) なお、式中の負号は、Fig. 4.1 のように、曲げモ-メントの向きを正に取った場合、その撓みは上に凸となっていて、ここの図とは逆に、負の曲率を有するためである.

以上の準備を踏まえて、Fig. 4.4 に示すように、 ξ と $\xi+\delta\xi$ との間にある梁の微小部分 $\delta\xi$ を切り出して、運動方程式を立てよう. このときも、弦の場合と同様、変位 $\mathfrak{F}(x,t)$ が十分小さく

 $(|\hat{y}| \ll 1)$, 梁が細長いとすれば、梁は上下方向(y)にのみ運動し、 ζ 軸回りの回転運動は、無視してよい. 実際、それぞれの方向の運動方程式は、

[上下
$$(y)$$
 方向]
$$\frac{\gamma \delta \xi}{g} \frac{\partial^2 \tilde{y}}{\partial t^2} = (F + \delta F) - F - \gamma \delta \xi$$
$$= \delta F - \gamma \delta \xi = \frac{\partial F}{\partial \xi} \delta \xi - \gamma \delta \xi$$
$$= 0 = (M + \delta M) - M - (F + \delta F) \delta \xi + \gamma \delta \xi \cdot \frac{\delta \xi}{2}$$
$$\approx \delta M - F \delta \xi = \frac{\partial M}{\partial \xi} \delta \xi - F \delta \xi$$
 (4.8)

「上下
$$(y)$$
 方向]
$$\frac{\gamma}{g} \frac{\partial^2 y}{\partial t^2} = \frac{\partial F}{\partial \xi} - \gamma$$
 [回転 $(\zeta$ 軸回り)]
$$F = \frac{\partial M}{\partial \xi}$$
 $\cdots (4.9)$

$$F = \frac{\partial M}{\partial \xi} \approx \frac{\partial M}{\partial x} = -\frac{\partial}{\partial x} \left(E I \frac{\partial^2 \tilde{y}}{\partial x^2} \right)$$

$$\frac{\partial F}{\partial \xi} \approx \frac{\partial F}{\partial x} = -\frac{\partial^2}{\partial x^2} \left(E I \frac{\partial^2 \tilde{y}}{\partial x^2} \right)$$
···(4.10)

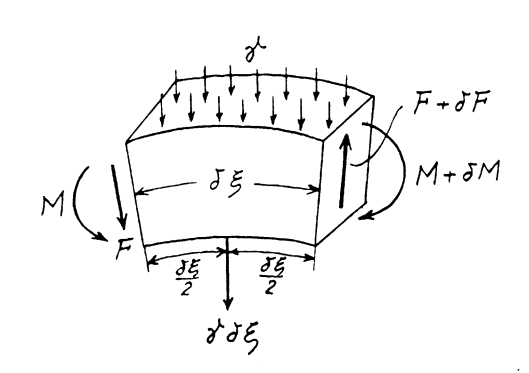


Fig. 4.4

のように、表わし得る. これは、(4.6)式により、小撓み($\left|\tilde{y}\right| \ll 1$)の状態では、 $\frac{\partial \xi}{\partial x} \approx 1$ となるから、 ξ に関する微分をx で置き換えたことによる. ここに、梁の材質と断面形状が、 x° 〉長 ℓ に亙って一様であるとすれば、Young 率E と、断面 2 次 ξ - χ >トI は、定数となって、上式は、それぞれ、

$$F = -EI \frac{\partial^3 \tilde{y}}{\partial x^3}$$
 (但し、 $EI = Const.$ な場合)
$$\frac{\partial F}{\partial \xi} = -EI \frac{\partial^4 \tilde{y}}{\partial x^4}$$

のように、簡単になる.

以上の結果, 梁の上下方向の撓み振動方程式は, (4.10)式の関係を, (4.9)式の第1式に採用することにより,

$$\frac{\gamma}{g} \frac{\partial^2 \tilde{y}}{\partial t^2} + \frac{\partial^2}{\partial x^2} \left(E I \frac{\partial^2 \tilde{y}}{\partial x^2} \right) + \gamma = 0$$
 (4.12)

となる. 例えば、船体を梁と見做して振動の解析を行なう際には、曲げ剛性 EI は、横断面によって異なり、 EI は船長方向 x の関数となり、解析は区分的に行なう必要がある. ここでは、簡単のために、 EI=Const. とすれば、梁の全撓み \S ($=y_0+y$) に対する振動方程式は、

$$\frac{\gamma}{g} \frac{\partial^2 \tilde{y}}{\partial t^2} + EI \frac{\partial^4 \tilde{y}}{\partial x^4} + \gamma = 0$$
(但し、 $EI = Const.$ な一様断面梁)

のように、書き表わされる. 以下、梁の振動特性の概略を把握することを目的に、この一様断面梁 について考えよう. ここに、梁の場合も、前章の弦の場合と同様、その自重により、静的な平衡状態において、初期撓みが存在することを忘れてはならず、上式中の撓み変位 $\tilde{y}(x,t)$ は、

$$\tilde{y}(x,t) = y_0(x) + y(x,t) \qquad \cdots \qquad (4.14)$$

のように、初期撓み $y_0(x)$ による定常成分と、振動による周期的な変動成分 y(x,t) の重量として得られるのである. これを、(4.12)式に代入して、時間 t に依存しない項と、依存する項に分けて表示れば.

$$EI\left(\frac{d^4y_0}{dx^4} + \frac{\gamma}{EI}\right) + \frac{\gamma}{g}\left(\frac{\partial^2 y}{\partial t^2} + \frac{EIg}{\gamma} \cdot \frac{\partial^4 y}{\partial x^4}\right) = 0 \qquad (4.15)$$

を得る. ここに、第1項が定常成分、第2項が変動成分を表わし、それぞれの括弧内がゼロになれば、上式を満足させ得るから、

[定常成分]
$$\frac{d^4y_0}{dx^4} + \frac{\gamma}{EI} = 0$$
「変動成分]
$$\frac{\partial^2 y}{\partial t^2} + \frac{EIg}{\gamma} \cdot \frac{\partial^4 y}{\partial x^4} = 0$$
 (4.16)

と書ける. まず、(4.16)式の第1式を解くことにより、梁の初期撓みが求まり、第2式から、振動変位が求まることになる. 実際、定常成分に対する常微分方程式は、x に関して単純に4階積分することにより、簡単に解けて、初期撓み $y_0(x)$ は、

$$y_0(x) = -\frac{\gamma}{24FI}x^4 + \frac{c_3}{6}x^3 + \frac{c_2}{2}x^2 + c_1x + c_0 \qquad (4.17)$$

のような 4 次曲線で表わされることが分かる. ここでは、一例として、片持ち梁の場合を考え、左端で固定、右端で自由の条件を設定し、 4 個の積分定数を決定してみる. まず、左端(x=0)で固定されていることから、x=0 において、撓みと、その傾斜がど口であり、

$$y_0\Big]_{x=0} = \frac{dy_0}{dx}\Big]_{x=0} = 0$$
(4.18)

の条件を満たすように、未定の積分定数 c_0, c_1 を決定すれば、

となる. 次に,右端($x=\ell$)で自由であるから, $x=\ell$ で,内力としての,曲げ ϵ - ℓ が生じないことになるが,その条件を,(4.7)式と(4.11)式の関係から, ℓ に関して記述すれば.

$$M_{0} \Big]_{x=\ell} = -EI \frac{d^{2}y_{0}}{dx^{2}} \Big]_{x=0} = 0$$

$$F_{0} \Big]_{x=\ell} = -EI \frac{d^{3}y_{0}}{dx^{3}} \Big]_{x=0} = 0$$
(4.20)

となるから、未定定数 c_2 , c_3 は、

$$\begin{vmatrix}
c_2 &= -\frac{\gamma \ell^2}{2EI} \\
c_3 &= \frac{\gamma \ell}{EI}
\end{vmatrix}$$
(4.21)

のように定まる. この結果、片持ち梁の自重による初期撓み yo は、

$$y_0(x) = -\frac{\gamma}{24EI}x^2(x^2 - 4\ell x + 6\ell^2)$$
(4.22)

のように、決定される. また、最大撓み y_0 $\Big]_{max}$ は、自由端($x=\ell$)で生じ、その大きさは、

$$y_0]_{max} = y_0]_{x=\ell} = -\frac{\gamma \ell^4}{8EI}$$
(4.23)

であって、梁の曲げ剛性 E1 が大きいほど、撓みが小さいことが分かる。 負号は、撓みが下方向に

生じることを示すものであり、学生諸君は、この結果が、材料力学の教科書と一致していることを、 確かめておいて下さい.

一方,一様断面梁の変動成分 $y(=\tilde{y}-y_0)$ に対する撓み振動方程式は,(4.16)式の第2式において, $\frac{EIg}{v} = k^4$ と置けば、

$$\frac{\partial^2 y}{\partial t^2} + k^2 \frac{\partial^4 y}{\partial x^4} = 0$$
 但し、 $k \equiv \sqrt{\frac{EIg}{\gamma}}$ なる一様断面梁 (4.24)

となり、これを解けば、振動による変位y(x,t)が、求まることになる. 但し、(3.14)式の弦の場 合と異なり、x に関しては、4階の偏微分方程式となっている.

§4.2 撓み振動方程式の解法

ここでは、(4.24)式の振動方程式を解くことにより、梁の撓み振動による変位y(x,t)を定めるこ とを考えよう.

さて、弦の場合の(3.15)式と同様に、振動の形を決定する x のみの正規関数 (Normal Function) $\xi Y(x) \ge 1$

$$y(x,t) = Y(x)\cos(\omega t - \delta)$$
(4.25)

のような、変数分離形を仮定して、解き進めることにする. まず、これを(4.24)式に代入すれば、

$$\left(-\omega^2 Y(x) + k^2 \frac{d^4 Y(x)}{dx^4}\right) \cos(\omega t - \delta) = 0 \qquad \cdots (4.26)$$

となり、これを時間 t に拘わらず、恒等的に満たすためには、 $\cos(\omega t - \delta)$ を除く因数=t っとなる 必要があるから、正規関数 Y(x) が、

$$\frac{d^4Y(x)}{dx^4} - \frac{\omega^2}{k^2}Y(x) = 0$$
(4.27)

を満たせばよいことになる. この4階微分方程式の素解として,

$$Y(x) = Re^{\beta x} \qquad (4.28)$$

のような指数関数の形を仮定する. これを、(4.27)式に代入すると、

$$\left(\beta^4 - \frac{\omega^2}{k^2}\right) R e^{\beta x} = 0 \qquad \cdots (4.29)$$

の関係を得る. これから、 β を求めると、

ここに、式中のiは、 $i=\sqrt{-1}$ で定義される虚数単位である。 従って、(4.27)式の一 般解は,上記4個のetaに対する素解の線型結合として,

$$Y(x) = R'_{1}e^{\lambda x} + R'_{2}e^{-\lambda x} + R'_{3}e^{i\lambda x} + R'_{4}e^{-i\lambda x}$$
(4.32)

のように求まる. 式中の $R_1^{'}$, $R_2^{'}$, $R_3^{'}$, $R_4^{'}$ は、任意定数である. ここに、以後の解析の便利のた め、それぞれの素解を、

$$e^{\lambda x} = \cosh \lambda x + \sinh \lambda x , \quad e^{i\lambda x} = \cos \lambda x + i \sin \lambda x e^{-\lambda x} = \cosh \lambda x - \sinh \lambda x , \quad e^{-i\lambda x} = \cos \lambda x - i \sin \lambda x$$

$$(4.33)$$

の関係を用いて、偶関数 $(\cosh \lambda x, \cos \lambda x)$ と奇関数 $(\sinh \lambda x, \sin \lambda x)$ に分けて書き換えると、 にする.

$$Y(x) = (R_{1}' + R_{2}') \cosh \lambda x + (R_{1}' - R_{2}') \sinh \lambda x + (R_{3}' + R_{4}') \cos \lambda x + i (R_{1}' + R_{2}') \sin \lambda x$$

= $R_{1} \cosh \lambda x + R_{2} \sinh \lambda x + R_{3} \cos \lambda x + R_{4} \sin \lambda x$ (4.34)

となる. ここに、 R_1 , R_2 , R_3 , R_4 は、新たに置き換えた任意定数であり、次節に示すように、境界条件から決定される. よって、(4.24)式の撓み振動方程式の一般解y(x,t) は、(4.25)式により、

 $y(x,t) = (R_1 \cosh \lambda x + R_2 \sinh \lambda x + R_3 \cos \lambda x + R_4) \sin \lambda x \cos (\omega t - \delta)$ ·····(4.34) の形となる.

§4.3 両端自由の場合の撓み振動

ここでは、船体の振動状態を想定して、境界条件として、両端自由な場合について考えよう. このとき、

となる. このように、梁が水面に浮かんでいる場合、全長に亙って重量分布 w や、断面形状 I が一様な梁が水面に浮かんでいる場合、局所的にも、自重と浮力が釣り合って、浮かんでいることから、静的な撓みは生じず $y_0(x)=0$ であり、この場合は、振動変位 y が、全撓みに等しくなって、 $\hat{y}(x,t)=y(x,t)$ である.

以下,両端自由の境界条件を満足するように,(4.34)式のY(x) 中の λ を決定する. ここに,式(4.35)式のF (剪断力) = M (曲げ ϵ - λ) = ϵ での条件は,(4.7),(4.11)式の関係から振動変位 χ によって,更に,(4.25)式の正規関数 χ (χ) を用いて,

$$M = -EI \frac{\partial^2 y(x,t)}{\partial x^2} = -EI \frac{d^2 Y(x)}{dx^2} \cos(\omega t - \delta) = 0$$

$$F = -EI \frac{\partial^3 y(x,t)}{\partial x^3} = -EI \frac{d^3 Y(x)}{dx^3} \cos(\omega t - \delta) = 0$$
(4.36)

のように、書くことができるから、結局、両端 $(x=0,\ell)$ において、Y(x) が、

$$\frac{d^{2}Y}{dx^{2}} = \frac{d^{3}Y}{dx^{3}} = 0 \quad on \ \pm i i (x=0)$$

$$\frac{d^{2}Y}{dx^{2}} = \frac{d^{3}Y}{dx^{3}} = 0 \quad on \ \pm i i (x=0)$$
(4.37)

を,満たせばいことが分かる. ここに, Y(x) は(4.34)式の形で与えられるから, $\frac{d^2Y}{dx^2}$, $\frac{d^3Y}{dx^3}$ は,それぞれ,

$$\frac{d^2Y}{dx^2} = \lambda^2 \left(R_1 \cosh \lambda x + R_2 \sinh \lambda x - R_3 \cos \lambda x - R_4 \sin \lambda x \right) = 0$$

$$\frac{d^3Y}{dx^3} = \lambda^3 \left(R_1 \sinh \lambda x + R_2 \cosh \lambda x + R_3 \sin \lambda x - R_4 \cos \lambda x \right) = 0$$
(4.38)

のように計算できる. 従って、左端(x=0) の条件から、それぞれ、

$$\frac{1}{\lambda^2} \frac{d^2 Y}{dx^2} \bigg|_{x=0} = R_1 - R_3 = 0$$

$$\frac{1}{\lambda^3} \frac{d^3 Y}{dx^3} \bigg|_{x=0} = R_2 - R_4 = 0$$
(4.39)

の関係を得,

$$\left.\begin{array}{c}
R_3 = R_1 \\
R_4 = R_2
\end{array}\right\}$$
(4.40)

となる. 従って、(4.34)式から、 R_3 、 R_4 を消去できて、Y(x) は、

$$Y(x) = R_1 (\cosh \lambda x + \cos \lambda x) + R_2 (\sinh \lambda x + \sin \lambda x)$$
(4.41)

のように表現できる. 次に、右端 $(x=\ell)$ の条件は、(4.38)式において $x=\ell$ とし、更に、(4.40式 の関係を用いることにより、

$$\frac{1}{\lambda^2} \frac{d^2 Y}{dx^2} \bigg|_{x=\ell} = R_1 (\cosh \lambda \ell - \cos \lambda \ell) + R_2 (\sinh \lambda \ell - \sin \lambda \ell) = 0$$

$$\frac{1}{\lambda^3} \frac{d^3 Y}{dx^3} \bigg|_{x=\ell} = R_1 (\sinh \lambda \ell + \sin \lambda \ell) + R_2 (\cosh \lambda \ell - \cos \lambda \ell) = 0$$

$$(4.42)$$

のように、書くことができる. 上式より、 R_2 と R_1 の比 $\frac{R_1}{R_2}$ を求めると、

$$\frac{R_2}{R_1} = -\frac{\cosh \lambda \ell - \cos \lambda \ell}{\sinh \lambda \ell - \sin \lambda \ell} = -\frac{\sinh \lambda \ell + \sin \lambda \ell}{\cosh \lambda \ell - \cos \lambda \ell} \qquad (4.43)$$

となり、この場合んは、

$$(\cosh \lambda \ell - \cos \lambda \ell)^2 = \sinh^2 \lambda \ell - \sin^2 \lambda \ell \qquad \cdots \qquad (4.44)$$

のような関係を満足する必要があることが分かる. ここに、双曲線関数と三角関数に関する

$$\begin{vmatrix}
\cosh^2 \lambda \ell - \sinh^2 \lambda \ell = 1 \\
\sin^2 \lambda \ell + \cos^2 \lambda \ell = 1
\end{vmatrix}$$
(4.45)

の性質を用いることにより、 λ に関して、

$$\cosh \lambda \ell \cdot \cos \lambda \ell = 1$$
(4.46)

のような方程式を得る. 一方,(4.43)式の前者の関係から,(4.41)式の正規関数 Y(x) は, R_{\perp} のみ を用いて、

$$Y(x) = R_1 \left\{ \cosh \lambda x + \cos \lambda x - \frac{\cosh \lambda \ell - \cos \lambda \ell}{\sinh \lambda \ell - \sin \lambda \ell} (\sinh \lambda x + \sin \lambda x) \right\} \qquad \cdots (4.48)$$

のように表現できることが分かる.

ここに, (4.46)式の方程式を解いて, λ を決定するためには,

$$\cos \lambda \ell = \frac{1}{\cosh \lambda \ell} \qquad (4.49)$$

の形で扱うと、考え易い. 上式は、Fig. 4.5 に示すように、横軸に $\lambda \ell$ 、縦軸に $\cos \lambda \ell$ 及び $\frac{1}{\cosh \lambda \ell}$ の値を取って τ° ロ γ トすれば、その両曲線の交点の $\lambda \ell$ を求める問題に帰着される. り分かるように、両線の交点の交点の横座標は、近似的に cos Aℓ の曲線が横軸と交わる、

$$\cos \lambda \ell = 0$$
 ·····(4.50)

を満たす点の座標としても差し支えないから、 λℓ の近似値として、直ちに、

$$\lambda_{1} \ell \approx \frac{3}{2} \pi \ (=4.7124), \quad \lambda_{2} \ell \approx \frac{5}{2} \pi \ (=7.8540), \quad \lambda_{3} \ell \approx \frac{7}{2} \pi \ (=10.9956),$$

$$\lambda_{4} \ell \approx \frac{9}{2} \pi \ (=14.1372), \quad \dots, \quad \lambda_{n} \ell \approx \frac{2n+1}{2} \pi$$

$$\cdot \cdot \cdot \cdot (4.51)$$

が,得られる。 (4.49)式の厳密解を求めるには,上記の近似値を初期値して,

られる.
$$(4.49)$$
式の厳密解を求めるには、上記の近似値を初期値して、
$$\lambda \ell \Big]_{j+1} = \lambda \ell \Big]_{j} + \frac{\cos \lambda \ell \Big]_{j} - \frac{1}{\cosh \lambda \ell \Big]_{j}}}{\sin \lambda \ell \Big]_{j} - \frac{\tanh \lambda \ell \Big]_{j}}{\cosh \lambda \ell \Big]_{j}}$$
 (4.52)

のような Newton-Raphson 法を用いれば、ほんの数回の繰り返し計算によって、

Vibrations of Floating Structures: Chapter. 4

$$\lambda_1 \ell = 4.7300, \ \lambda_2 \ell = 7.8532, \ \lambda_3 \ell = 10.9956, \ \lambda_4 \ell = 14.1372, \ \lambda_5 \ell = 17.2788, \dots$$
 (4.53)

なる解を、得ることができる. この結果を見れば、(4.51)式の近似値が、非常に良い近似解となっていることが分かる. 特に、 $\lambda_3\ell$ 以降は、小数点以下 4 桁の範囲では、厳密解と完全に一致しているから、実用的には、(4.51)式の解で充分と考えられる.

このとき, (4.48)式において, それぞれの振動モード n に対応して,

$$\alpha_n \equiv -\frac{R_2}{R_\perp} = \frac{\cosh \lambda_n \ell - \cos \lambda_n \ell}{\sinh \lambda_n \ell - \sin \lambda_n \ell} \qquad \cdots (4.54)$$

と置き、振幅に相当する任意定数 R_1 を、振動 \mathfrak{t} - \mathfrak{t} 'との対応させて、 改めて R_n と書けば、(4.48)式の正規関数 Y(x) も、振動 \mathfrak{t} - \mathfrak{t} 'n に対応する形で、 $Y_n(x)$ となって、

$$Y_n(x) = R_n \left\{ \cosh \lambda_n x + \cos \lambda_n x + \alpha_n (\sinh \lambda_n x + \sin \lambda_n x) \right\} \qquad \dots (4.55)$$

のように書くことができ、その係数 α_n は、(4.53)式のそれぞれの $\lambda_n \ell$ に対して計算すれば、

$$\alpha_1 = 0.9825, \quad \alpha_2 = 1.0008, \quad \alpha_3 = 1.0000, \\ \alpha_4 = 1.0000, \quad \alpha_5 = 1.0000, \quad \dots$$
 (4.56)

となる. この結果から、 α_n は概ね 1 の値を取ることが分かるが、これは、(4.53)式のようなある程度大きな $\lambda_n\ell$ に対しては、 $\sinh\lambda_n\ell\gg 1$ 、 $\cosh\lambda_n\ell\gg 1$ となって、 $\sin\lambda_n\ell$ 、 $\cos\lambda_n\ell$ の項に支配的となることから、(4.54)式の α_n は、漸近的に

$$\alpha_n \approx \frac{1}{\tanh \lambda_n \ell} \approx 1$$
 (4.57)

によって計算することができるからである. 式中,このとき $\tanh \lambda_n \ell \approx 1$ となることを用いた. このとき,振動モート n の振動数 ω_n は,(4.31)式の関係により, $\lambda_n \ell = \ell \sqrt{\frac{\omega}{k}}$ が成立するから,

$$\omega_{n} = \frac{k (\lambda_{n} \ell)^{2}}{\ell^{2}}$$

$$= \frac{(\lambda_{n} \ell)^{2} \sqrt{\frac{EIg}{\gamma}}}{\ell^{2}}$$

$$(4.58)$$

となる. したがって、対応するモード n の振動変位 y "は、

$$y_n(x,t) = Y_n(x)\cos(\omega_n t - \delta)$$
 ······(4.59)

となる. ここに、(4.24)式の撓み振動方程式は、y に関して線型であるし、(4.38)式の両端自由の境界条件も、右辺=t の形だから、結局、この場合の振動変位y は、それぞれの振動t-t に対する上式の変位y。の重畳によって、

$$y(x,t) = \sum_{n=1}^{\infty} y_n(x,t) = \sum_{n=1}^{\infty} Y_n(x) \cos(\omega_n t - \delta_n)$$

$$= \sum_{n=1}^{\infty} R_n \left[\cosh\left(\lambda_n \ell \cdot \frac{x}{\ell}\right) + \cos\left(\lambda_n \ell \cdot \frac{x}{\ell}\right) + \alpha_n \left\{ \sinh\left(\lambda_n \ell \cdot \frac{x}{\ell}\right) + \sin\left(\lambda_n \ell \cdot \frac{x}{\ell}\right) \right\} \right]$$

$$\times \cos\left(\frac{k(\lambda_n \ell)^2}{\ell^2} t - \delta_n\right) \qquad (4.60)$$

のように、表わされることになる. 式中の任意定数 R_n , δ_n は、それぞれの振動 ϵ -ドに対する振幅と位相遅れ角に相当するもので、初期条件から定められるものである.